

電力中央研究所

正会員 ○ 西 好一

同上

同上 江刺 靖行

1. まえがき

F.E.Mなどを用いて地盤の支持力や変形を予測するといふ、粘性土のように簡単な試験から今まで、圧密履歴をある程度予定しうる材料は別としても、砂などのような場合には初期応力として鉛直応力は土カブリ压を、また側方応力はそれに静止土圧係数(通常0.5を用いることが多い)を乗じた値を仮定することが多い。しかしこれは地盤の応力履歴を無視した方法であることはよく知られているところである。すなはち、一般に地盤は図-1に示すように同一の土カブリ压下でも、その応力履歴によって異なる側方土圧を示す。これは図中の $z' \rightarrow z$ や $3' \rightarrow 3$ で示す圧密履歴、及び

$1 \rightarrow 2$ として示す振動履歴などで生じるものである。この様な初期応力の影響が無視できなくなることは粘性土地盤の場合、解析的に指摘されており²⁾。最近は原位置での測定手法の開発が幾つかなされている状況にある。しかし土質材料、構成式と地盤内の初期応力を結びつけた統一的な研究は見当らないようである。この様な現実から、本報告は帶状ツーリング基礎の変形問題を例として取り上げ、初期応力効果について解析的見地から述べたものである。

2. 砂の構成式

弾・塑性理論を用いて説明した構成式を用いる。⁴⁾

3. 要素試験、解析との結果

平面ひずみ条件下における三軸試験を想定した解析を有限要素法により行った。なおここで用いた解析手法については文献5)を詳細に述べられている。初期応力は σ_y と σ_x 比を0.5, 1.0, 2.0の3通りに変えて与えられ、 σ_y のみ単調に増減(圧縮・伸張)させる載荷方法によることとした。ただし σ_{mo} はすべての解析で同一($1\text{kg}/\text{cm}^2$)とし、ひずみを拘束した方向の応力は初期状態では σ_x と同一の値を与える。また初期降伏応力は初期条件で与えられる応力状態、すなわち $f_{s,0} = (\sigma_y/\sigma_m)_0$, $f_{c,0} = (\sigma_m)_0$ とした。図-2, 3はこの様な条件下で得られた応力-ひずみ関係を示したものである。図をみると $K_0=2.0$ 及び $K_0=0.5$ の条件下から圧縮及び伸張側にそれぞれセン断させた時、初期の $(\sigma_y/\sigma_m)_0$ に到達するまでの彈性的挙動(非線型)を示しており、その後塑性挙動が卓越した応力・ひずみ状態に入っていることが示されている。また図-3には等方圧縮試験から得られる圧縮指数(n)と膨満指数(IC)を用いて計算される体積ひずみも破線で示した。タイレイタソシを評価できない通常の非線型弾塑性解析

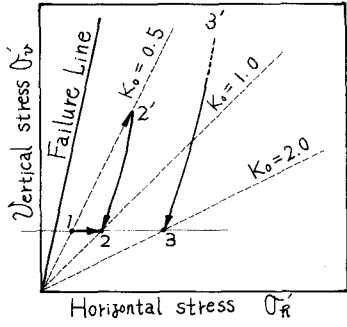


図-1 地盤の応力履歴

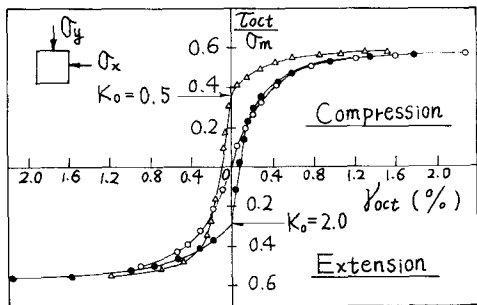
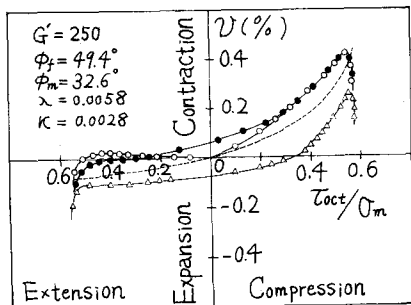
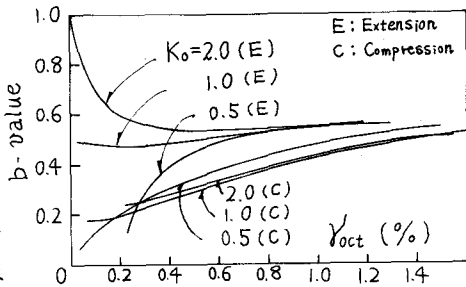
図-2 $T_{act}/G_m \sim \gamma_{oct}$ 図 (by F.E.M.)図-3 $T_{act}/G_m \sim \epsilon$ 図 (by F.E.M.)

図-4 b-値の変化 (by F.E.M.)

で得られる結果と異なる点は 1) ある応力比以上になると急激に膨脹の体積変化を示すこと 2) η_m が減少する応力経路下 ($K_0=1.0$ の伸張側) でも体積の収縮を示すこと 3) 除荷時ににおける残留ひずみが評価できること等である。これらは実際の砂の挙動を表現しているものである。図-4中12は中間主応力パラメータである b -値・セん断に伴なう変化を示した。設定した初期応力条件により種々な値をとっていたり、セん断の進行につれてほぼ 0.5 程度の値に漸近する傾向がみられる。

4. フーチング・基礎の解析

図-5に示す要素分割はよりフーチング(コンクリートも想定)12等分布荷重が載荷された場合の地盤の変形解析を行なった。地盤初期応力として、鉛直土圧は土カドリ压 ($\gamma_t = 1.83 \text{ kN/m}^3$) と、また側方土圧としては鉛直土圧の 0.5, 1.0, 2.0 倍をとっている。なお地盤材料定数は図-3に示した値と同様である。図-5, 6, 7 は 200t/m² 載荷時における地盤内要素安全率 ($S.F = \sin\phi / [(c_i + \sigma_s) / (\sigma_i + \sigma_s)]$) を、図-8は同様の荷重下における各土圧、鉛直変位及び側方変位を示したものである。これより 1) K_0 が小さい程破壊域はフーチング内部に進行し、その後が外側へと進展する。2) 鉛直変位、側方変位は共に K_0 が小さい程大きいことが知られる。特に $K_0=2.0$ の場合フーチング端部から離れた要素に側方破壊が生じていてこれが最も特長であるとして上げられよう。また図-3, 6, 7 は図-6に示す要素内の応力経路と応力ひずみ曲線を示す。 η_m の増加が著しく全体積変化は収縮傾向を示すが、載荷の早い段階からダイレクトゲージで測定される。それに対応して形で顕著な膨脹側(ターピング)を生じていることが明らかに示されている。

5. あとがき

解析の対象として最も一般的な平面ひずみ条件下における要素試験の解析、及びフーチング基礎の変形問題を取り上げ有限要素解析から地盤内初期応力が変形や局所的な破壊領域の進展に大きな影響を及ぼすことを確認した。今後は土質材料、構成式の研究とともに、初期応力を原位置で精度よく測定できる試験方法、及びそれと有機的に結合した解析手法を開発に進み、境界値問題の解明に取り組んでいきたい。

参考文献

- 1) D'Appolonia et al., "Sand Compaction with Vibratory Rollers," ASCE, SM1, 1969
- 2) 例文 Hög et al., "Settlement of Strip Load on Elasto-Plastic Soil," ASCE, SM2, 1968 3) 例文 Massash et al., "Measurement of Horizontal in situ stress," Proc. In Situ Meas. of Soil Prop., 1975
- 4) 西・江刺, "軟質地盤における基礎の支持力と変形-その1," 地盤報告, 1977,
- 5) 中村・西・江刺, "大口径取水埋設管の挙動と設計-その2," 地盤報告, 印刷中

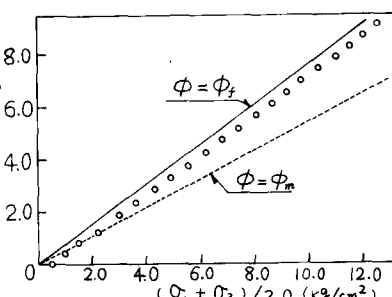


図-9 要素 A の応力経路

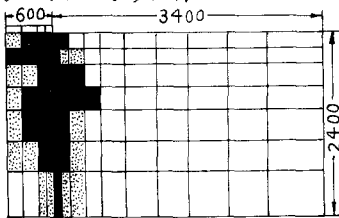


図-5 要素の安全率分布 ($K_0 = 0.5$)

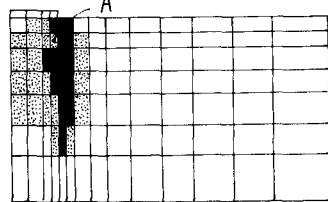


図-6 要素の安全率分布 ($K_0 = 1.0$)

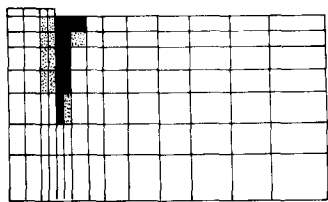


図-7 要素の安全率分布 ($K_0 = 2.0$)

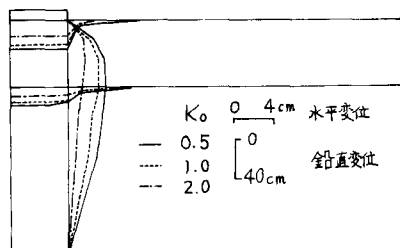


図-8 地盤の鉛直及び側方変位

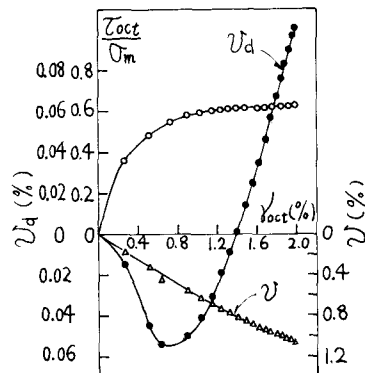


図-10 要素 A の応力ひずみ挙動